研 究

UDC 621, 317, 36 / 621, 396, 91

# 周波数標準器の短期安定度の測定

吉 村 和 幸\* 原 田 喜久男\* 小 林 正 紀\* (昭和 45. 9. 25 受理)

# MEASUREMENT OF SHORT-TERM FREQUENCY STABILITY OF FREQUENCY STANDARDS

By

# Kazuyuki YOSHIMURA, Kikuo HARADA and Masaki KOBAYASHI

The measurement of short-term frequency stability was made of precise quartz crystal oscillators, Rb atomic frequency standards and a hydrogen atomic standard in different measuring methods, and estimation and examination were made of the measuring system as well as the standards.

The basic theory of frequency stability almost established of late was also introduced to help the readers understand it. As the theory of frequency stability was applied mostly to signals soiled by random noises having continuous spectra, the authors analyzed the frequency stability of signals frequency-(phase-)modulated by discrete noises having discrete spectra, as the output from frequency synthesizers, and indicated that it was quite different from that of the former signals.

#### 1. 緒 言

広帯域伝送、PCM 伝送などの通信技術の進歩,船舶, 航空機の航行システムによる位置ぎめの高精度化および 衛星観測のための世界的規模における時刻同期の必要な どから,時間と周波数の精度の要求は年々高くなってい るい。そして,周波数標準器についても近年特に原子標 準器を中心に著しい進歩をとげた。我国においても,水 晶発振器は引続いて性能が改善され,当研究所における 水素メーザ(一次標準器)の開発と精度の向上は国際的 にも評価されている。さらに最近は実用器として Rb 原 子標準器の開発に民間を含め力を注いでいる。

周波数安定度は"連続運転されている発振器がある期間にわたって同一の周波数値を実現しうる度合を表わ

す"量であり<sup>(2)</sup>,周波数標準器の性能を 簡便かつ 正確に表現する重要な用語である。そして,短期安定度は平均測定時間が10秒前後以下の安定度を意味するが,スペクトルのうえではキャリアから 0.1 Hz 程度以上離れた雑音成分が関係する。この周波数安定度の理論に関しても,周波数標準器の性能向上と歩調を合わせて深く研究され,今日ではほぼ確立されるに至っている<sup>(3)(4)</sup>。

今回は、Hメーザ(同期出力)、Rb 原子標準器、水晶発振器など比較的最近の標準器について異なる測定方法で短期安定度を測定した。そして、標準器間の性能の比較に加えて測定系についても問題点を検討し、短期安定度測定系の確立に必要な資料を得た。さらに理解を容易にするために周波数安定度の基礎理論にふれるとともに、これまでの周波数安定度の理論の多くが連続スペクトルをもつ雑音についてであるので、これを周波数合成の場合に伴う離散的な周波数スペクトルをもつ雑音の場合について発展させた理論についても述べた。

<sup>\*</sup> 周波数標準部原子標準研究室

# 2. 周波数安定度の基礎理論(3)(4)(5)

発振器からの出力電圧は次のように表わせる。

$$V(t) = [V_0 + \varepsilon(t)] \sin \left(2\pi\nu_0 t + \varphi(t)\right) \tag{1}$$

ただし、
$$|\varepsilon(t)/V_0| \ll 1$$
,  $|\dot{\varphi}(t)/2\pi\nu_0| \ll 1$  (2)

ここで、 $V_0$ 、 $\nu_0$  は公称の電圧振幅および周波数である。 振幅変動量  $\varepsilon(t)$  は周波数変動には直接関係しない。

瞬時周波数  $\nu(t)$  は次のように定義される。

$$\nu(t) = \nu_0 + \dot{\varphi}(t) / 2\pi \tag{3}$$

したがって、 $\dot{\varphi}(t)/2\pi$  は 周波数の瞬時的な 不安定さを表わしている。便宜上これを  $\nu_0$  で規格化した量を考える。

$$y(t) \equiv \dot{\varphi}(t)/2\pi\nu_0 \tag{4}$$

y(t) の  $\tau$  時間平均は周波数安定度の定義に直接関係する。

$$\bar{y}_{k} = \frac{1}{\tau} \int_{t_{k}}^{t_{k}+\tau} y(t) dt = \frac{\varphi(t_{k}+\tau) - \varphi(t_{k})}{2\pi\nu_{0}\tau}$$
 (5)

ここで,  $t_{k+1}=t_k+T$ ,  $K=0,1,2,\cdots$ , T は  $\tau$  時間測定の繰り返し周期である。

(5)式の測定を N 回行なって求めた分散を  $\sigma_y^2(N,T,\tau)$  と表わすと、

$$\langle \sigma_y^2(N,T,\tau)\rangle = \left\langle \frac{1}{N-1} \sum_{n=1}^N \left( \bar{y}_n - \frac{1}{N} \sum_{k=1}^N \bar{y}_k \right)^2 \right\rangle$$
(6)

ここで、〈 〉は無限時間平均を表わしている。

(1)式の  $\varphi(t)$  の自己相関々数を  $R_{\varphi}(\tau)$  とすると,

$$R_{\varphi}(\tau) = \langle \varphi(t)\varphi(t + \tau) \rangle \tag{7}$$

(5), (7)式から  $N \to \infty$ ,  $T = \tau$  の場合の分散は次のように表わすことができる。

$$\sigma_y^2(\infty, \tau) = 2[R_{\varphi}(0) - R_{\varphi}(\tau)]/(2\pi\nu_0\tau)^2$$
 (8)

ここで、 $\sigma_y^2(\infty,\tau)$   $=\langle \sigma_y^2(\infty,T,\tau)\rangle$  である。短期安定度に最も影響する白い位相雑音や白い周波数雑音の場合、N,  $T/\tau$ ( $=\tau$ ) にあまり影響されれないので(8)式でじゅうぶんである。

パワースペクトル密度を用いると(6)、(8)式の計算に便利である。y(t)、 $\varphi(t)$ 、 $\varphi(t)$  のパワースペクトル密度をそれぞれ  $S_y(f)$ 、 $S_{\varphi}(f)$ 、 $S_{\varphi}(f)$  と表わすと、これらの間に次の関係がある。

$$S_{u}(f) = (1/2 \pi \nu_{0})^{2} S_{\varphi}^{\cdot}(f)$$

$$= (f/\nu_0)^2 S_{\varphi}(f) \tag{9}$$

ここで、fはフーリェ周波数である。パワースペクトル密度と自己相関々数はフーリェ変換で結ばれる。たとえば、

$$S_{\varphi}(f) = 4 \int_{0}^{\infty} R_{\varphi}(\tau) \cos 2\pi f \tau \, d\tau$$

$$R_{\varphi}(\tau) = \int_{0}^{\infty} S_{\varphi}(f) \cos 2\pi f \tau \, df \tag{10}$$

以上の式を用いて(6)式を書きなをすと,

$$\langle \sigma_y^2(N,T,\tau) \rangle = \frac{N}{N-1} \int_0^\infty df \ S_y(f) \frac{\sin^2(\pi f \tau)}{(\pi f \tau)^2}$$

$$\left\{ 1 - \frac{\sin^2(\pi N r f \tau)}{N^2 \sin^2(\pi r f \tau)} \right\}$$
 (11)

結局,(1)式の信号の周波数安定度は(1)式の平方根で与えられる。(1)式は周波数領域  $(S_{s}(f))$  から時間領域への変換の一般式を表わしているが,逆に時間領域から周波数領域への変換の一般式を得ることは不可能である。その意味で Sy(f) のほうが周波数安定度の第一義的な尺度であるといえる。

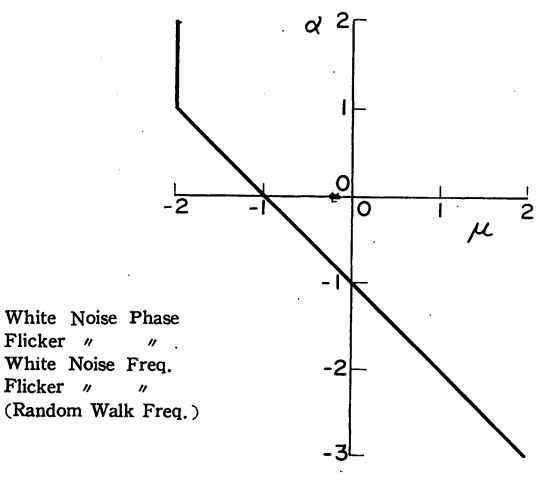
 $S_y(t)$  が次のような特別の形をとる場合を考える。

$$S_y(f) = \begin{cases} h_a f^a , & 0 \le f \le f_h \\ 0 , & f > f_h \end{cases}$$
 (12)

ここで、 $h_{\alpha}$ 、 $\alpha$  は定数である。このとき(1)式は N, r を一定とすると、

$$\langle \sigma_{\nu}^{2}(N,T,\tau) \rangle \sim |\tau|^{\mu}, 2\pi \tau f_{h} \gg 1$$
 (13)

 $\mu$  と  $\alpha$  の関係を第1図に示す。これから、時間領域での測定で  $\mu$  がわかると  $\alpha$  を決定できる。さらに、(11)式

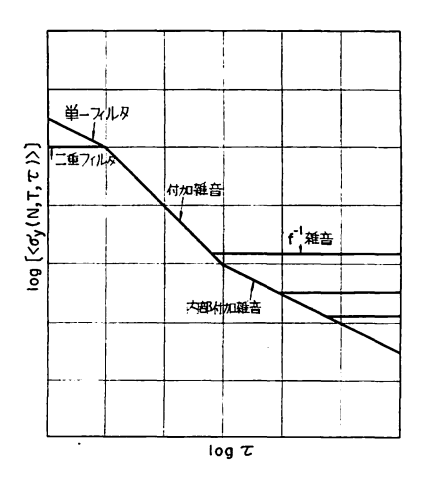


第1図 α対μ

秭	

	$S_y(f) = h_2 f^2$ (附加雜音)	Sy(f)=h <sub>0</sub> (内部附加雑音)	$Sy(f)=h_{-1}f^{-1}$ (フリッカ離音)
$\langle \sigma_y^2(N,T, au)  angle$	$h_2 \cdot \frac{N + \delta_k(r-1)}{N(2\pi)^2} \cdot \frac{2f_h}{\tau^2}$	$h_0 \cdot \frac{ \tau ^{-1}}{2}$	(N,r の函数)*
$\langle \sigma_y^2(N, \tau, \tau) \rangle$	$h_2 \cdot \frac{N+1}{N(2\pi)^2} \cdot \frac{2f_h}{\tau^2}$	$h_0 \cdot \frac{ \tau ^{-1}}{2}$	$h_{-1} \cdot \frac{N \ln N}{N-1}$
	$\delta_k(r-1) = \begin{cases} 1, & r=1 \\ 0, & r \neq 1 \end{cases}$		

\* 
$$h_{-1} \cdot \frac{1}{N(N-1)} \sum_{n=1}^{N} (N-n) \left[ -2(nr)^2 | n(nr) + (nr+1)^2 | n(nr+1) + (nr-1)^2 | n(nr-1) \right]$$



第2図 周波数安定度におよぼす各種雑音の影響

から ka も求めうる。このように四式は時間領域から周波数領域へ変換できる特別の場合を示している。実際,周波数標準器の雑音は四式の重ね合せでじゅうぶん表現できる。

図式の形をとる雑音のおもなものについて(II)式を計算すると第1表のようになる。また、これを $\tau$ について定性的に図示すると第2図のようである。これから次のことがいえる。

- (1) 付加雑音(白い位相雑音)は r が1秒前後より 短い範囲で支配的に影響する。帯域幅に密接に関係する ので測定に当っては測定帯域幅を明記する必要がある。
- (2) 内部付加雑音(白い周波数雑音)は原子周波数標準器において特に重要である。 だいたい  $\tau$  が 1秒前後以上からフリッカ雑音の支配するようになる数時間くらいまでの間で支配的になる。
- (3) フリッカ雑音は水晶標準器では $\tau$ が秒前後から,原子標準器では数時間程度から支配的になる。第1表からわかるように,N, rが一定なら周波数安定度は $\tau$ に対して一定である。また,N とともに大き  $\zeta$  なり,N  $\to \infty$  で発散してしまう。したがって,測定に際してはN, r を明記する必要がある。

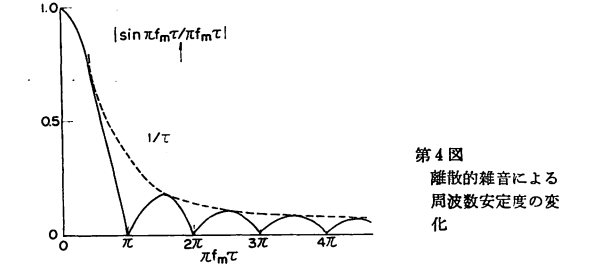
# 原子線の共鳴線の検出や比較的短時間で高精度の周波数(安定度)の測定を行うときなどに周波数合成器が必要である。合成器には大別して同期方式と混合方式とがあるが、いずれもその合成の過程で離散的雑音で FM (PM) 変調をうけうる (第3図)。簡単のため一つの変調成分のみを考えると、(1)式の $\rho(t)$ は

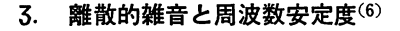
$$\varphi(t) = \delta \sin 2\pi f_m t$$
,  $\delta \ll 1$  (14)

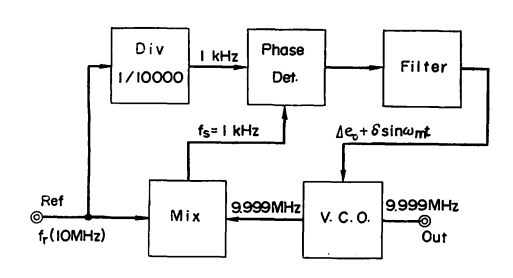
ここで、 $\delta$  は変調指数、 $f_m$  は変調周波数である。(7)、(8)式から、

$$\sigma_{y}(\infty,\tau) = \frac{\sqrt{2\delta}}{2\pi\nu_{0}\tau} \left| \sin \pi f_{\pi}\tau \right| \tag{15}$$

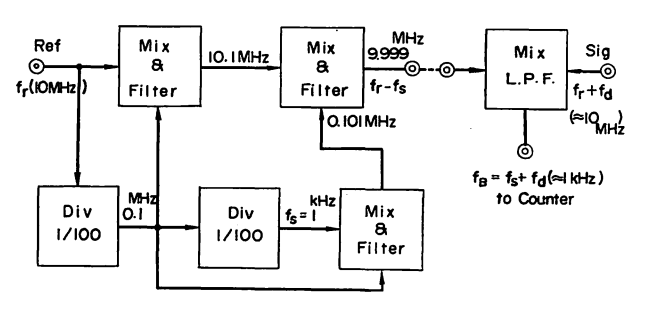
(5)式の変化の様子を第4図に示す。図において最大値







第3図(a) 同期発振器方式 (b) 混合方式 -



の軌跡は付加雑音のときのように  $1/\tau$  の変化をするが、 $f_{m\tau}$  が整数のところで零になっている。周波数カウンタの周波数カウントでは、 $\tau=1$  ms, 10 ms, ……, 10s のような値をとるから、たとえば  $f_{m}=1$  kHz では  $\sigma_{v}$  ( $\infty$ , $\tau$ ) はこれらのすべての $\tau$  に対して零となる。一般に、普通の測定におけるように $\tau$  が不連続の測定では離散的雑音による周波数安定度は正確には得られない。

( $\beta$ )式は厳密には  $\tau$  が 一定,したがって 周波数カウントの場合の式である。ところが,高精密測定には普通周期測定が行なわれるが,この場合は  $\tau$  自身が変化するので若干異なる検討が必要である。

いま離散的離音の影響をうけた瞬時周波数  $f_B+\dot{\rho}(t)$  / $2\pi$  を  $t\sim t+\tau$  の時間にわたり M 周期測定するとすると、(4)式を用いて

$$\{2\pi f_B(t+\tau)+\delta \sin 2\pi f_m(t+\tau)\}$$

$$-(2\pi f_B t + \delta \sin 2\pi f_m t) = 2\pi M \quad (16)$$

 $\tau \equiv \tau_0 - \Delta \tau$ ,  $\tau_0 \equiv M/f_B$  とおくと(16)式は,

$$2\pi f_B \Delta \tau = \delta \sin 2\pi f_m (t + \tau) - \delta \sin 2\pi f_m t \tag{17}$$

 $\Delta_{\tau}$  はカウンタの周期測定における一つ一つのばらつきを表わしている。

(の式は信号を連続的にカウントした場合(カウントとカウントの間をあけない), それが 正弦波的に値が変化 することを意味している。そして, 周波数カウントのとき論じたように, 変調周波数と平均測定時間との関係に依存することを示している。これらの点を周波数カウントのときのようにもっと明確に論じられるようにつぎのような場合について考える。

周波数合成器入力(基準信号)周波数 を  $f_r$ ,出力周 波数を  $f_r$ ー $f_s$  とし,これと他の信号(被測定信号)周 波数  $f_r$ + $f_a$  ( $f_r \gg f_a$ ) を混合 して  $f_B = f_s + f_a$  ( $f_s \gg f_a$ ) を得て周期測定をする(第 3 図(b))。また,普通 に起り得るように,離散的雑音周波数  $f_m$  が  $f_s$  の整数 倍で与えられるとすると,

$$f_m = kf_s$$
,  $k=1,2,\cdots$  (18)

また,

$$au_0=M/(f_s+f_d)\cong (M/f_s)(1-f_d/f_s)$$
 
$$\equiv au_s- au_d ag{19}$$

ここで、 $au_s \equiv M/f_s$  、  $au_d \cong au_0 f_d/f_s$ 

(18)、(19)式を用い、かつ、τα、 Δτ がじゅうぶん小さく、

$$\sin 2\pi f_m(\tau_d + \Delta \tau) \cong 2\pi f_m(\tau_d + \Delta \tau) \tag{20}$$

が成立するとすると(\*)、(17)式は結局

$$(f_B/f_r)(\Delta \tau/\tau_0) \cong (k\delta f_d/f_r)\cos 2\pi f_m t \tag{2}$$

図式は周波数安定度の形式 (4f/f) と なっており, カウンタの一つ一つのばらつきを表わしている。図式の RMS 値をとると、

$$\sigma_y(\infty, \tau) = (k\delta/\sqrt{2})(f_d/f_\tau) \tag{22}$$

すなわち、匈式の条件の成立する範囲で  $\sigma_{\nu}(\infty,\tau)$  は二つの発振器の差周波数に比例する。

これから次のような興味ある事実がわかる。

- (1)  $f_d=0$  のとき  $\sigma_r(\infty,\tau)=0$ 。 したがって、装置自身の性能を測るためにとられる共通入力法(二つの入力に同一の発振器から信号を入れることにより、発振器の影響を打ち消すことができる)はこの場合正しくない。
- (2) 図式は  $\tau_0$  に対し一定であるから ( $f_B$  を一定とする),周波数安定度のよい  $\tau_0$  の比較的大のところで影響が大きい。
- (3) 図式の成立する範囲で  $f_d/f_\tau$  は周波数逓倍に対して一定に保たれるから,周波数逓倍後に合成器を用いてその影響を軽くするという考え方は正しくなくなる。  $\tau_d$  が一般の値をとるとき,( $\Omega$ )式は  $\Delta \tau \ll 1$  として,

$$\sigma_{\nu}(\infty,\tau) = (\sqrt{2}\delta/2\pi f_{\tau}\tau_{0}) |\sin \pi f_{m}\tau_{d}| \tag{23}$$

となり、(5)式と同一の形式になる。(5)または(5)式の最大値は  $\sqrt{2\delta}/2\pi f_{\tau\tau0}$  であり、これがじゅうぶん小さい必要がある。

(例)  $f_r=10 \,\mathrm{MHz}$ ,  $\tau_0=1 \,\mathrm{sec}$  とすると,

$$\delta < -60 \text{ dB}$$
 c.  $\sigma_{\nu}(\infty, \tau)_{max} \le 2 \times 10^{-11}$ 

$$\delta \leq -80 \text{ dB}$$
 c,  $\sigma_y(\infty, \tau)_{max} \leq 2 \times 10^{-12}$ 

離散的雑音が複数個のときの周波数安定度は図式または(は)式の和で与えられる。したがって、一つ一つの雑音レベルはじゅうぶん小さい必要がある。また、N、rの一般のときは、N があまり小さくなければ普通これらにあまり影響されない。

$$f_{m}\tau_{d} = \frac{kM}{f_{B}} \cdot f_{r} \cdot \frac{f_{d}}{f_{r}} < \frac{1}{6}$$

$$\therefore \frac{f_{d}}{f_{r}} < \frac{1}{6kM} \cdot \frac{f_{B}}{f_{r}}$$

したがって, 上の数値例では

 $f_r = 10^7 \text{ Hz } \text{ c}, \quad f_d/f_r < 1.6 \times 10^{-8}$   $f_r = 10^8 \text{ Hz } \text{ c}, \quad f_d/f_r < 1.6 \times 10^{-9}$  $f_r = 10^9 \text{ Hz } \text{ c}, \quad f_d/f_r < 1.6 \times 10^{-10}$ 

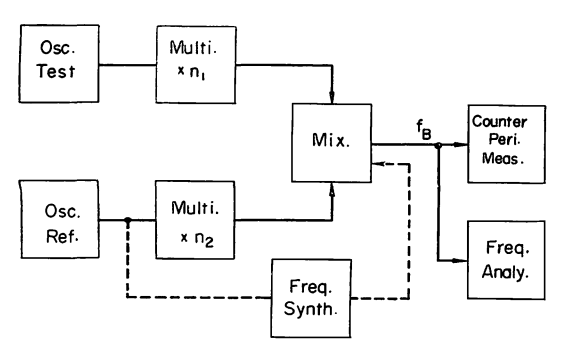
<sup>\*</sup> 匈式の成立する範囲について検討してみる。例として、 $M=10^3$ 、 $f_B=10^3$  Hz ( $\tau_0=M/f_B=1$  sec)、k=1 とする。匈 式が成立する ために は.

# 4. 測定方法

一般に短期安定度はカウンタによる周期測定と周波数 測定の二つの方法によっている。実際,次の方法で測定 した。

#### 4.1. 周期測定

比較する二つの信号を適当に逓倍して差周波数による ビートを周期測定する場合と、二つの信号の差周波数に 関係なく所期の測定用ビートを得るために周波数合成器 を用いる方法とがある(第5図)。 周波数安定度は 次式 により計算する。



第5図 高精度周波数安定度の測定系列

$$\sigma_y(N, T, \tau) = (f_B/n\nu_0)[(\Delta \tau)_{rms}/\tau_0]$$

$$= (M/n\nu_0)[(\Delta \tau)_{rms}/\tau_0^2] \tag{24}$$

n は逓倍次数である。図式の測定を何回も行なって平均をとるようにすると、それだけ測定値の信頼度が増す。今回の測定では N=100 ( $au_0 \le 1$  sec), N=50 ( $au_0 = 10$  sec) とし、各  $au_0$  についての測定を 1 回ずつ 行なった。

# (1) 10 MHz 測定

前章で述べた理論的検討に従がって  $9.999\,\mathrm{MHz}$  の周 波数合成器を作った (第  $3\,\mathrm{Z}(b)$ )。 $3\,\mathrm{Z}(b)$ 0、 $3\,\mathrm{Z}(b)$ 0 、 $3\,\mathrm{Z}($ 

被測定 10 MHz 信号と合成器出力 9.999 MHz とを 混合して約 1 kHz のビートを得, これを 周期測定 し

第 2 表 M 1 10 102 103 104  $\tau_0 = M/f_B$ 10-3 10-2 10-1 100 10 (sec) 10-11 度 10-8 10-9 10-10 10-12

た。測定時間と測定精度(カウンタの最終 1 カウントの  $0.1 \mu s$  に対応する)を第 2 表に示す。

測定帯域幅 50 kHz (3 dB down)

合成器帯域幅 ± 3.5 kHz (6 dB down)

#### (2) 1,440 MHz 測定

 $H_{X}$ ーザ同期出力  $1\,MH_{Z}$  と他の信号を  $1,440\,MH_{Z}$  まで逓倍して混合し、差周波数に よる ビート  $100\sim800$   $H_{Z}$  を周期測定した。 system noise は 第  $6\,$  図以降に示してある。

測定帯域幅 6kHz

#### 4.2. 周波数測定

商用の測定器で、 $1\,\text{MHz} \times 10 - 9\,\text{MHz}$  を何段も 重ねて等価的に高次逓倍し、 $1\,\text{MHz}$  出力を 周波数 カウントする方式のものを使用した。

$$\sigma_y(N,T,\tau) = (\Delta f)_{\tau ms}/n\nu_0 \tag{25}$$

たとえば、 $\tau_0=1$  sec の測定で最終ケタは 1 Hz であるから、 $1\times 10^{-11}$  の精度をうるには 逓倍次数  $n=10^5$  ( $n\nu_0=10^{11}$ ,  $\nu_0=1$  MHz) 必要である。

測定帯域幅 フィルタ **OFF** で ± 5 **kHz** フィルタ **ON** で 0.1 **kHz** 

 $(n=10^2\sim 10^4)$ 

 $\pm$  1 kHz ( $n=10^5$ )

 $\pm$  5 kHz ( $n=10^6$ )

#### 5. 測 定 結 果

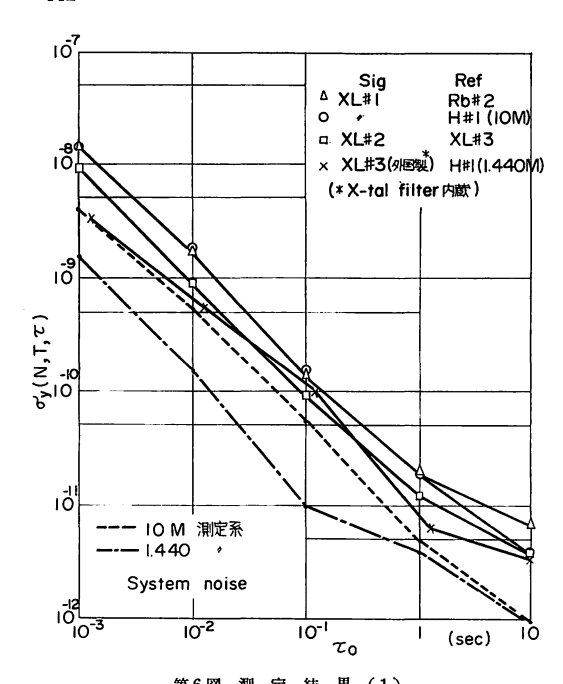
比較的最近の水晶発振器(国産 2,外国産 1,XL# の記号で表示),Rb 原子発振器(外国産 1,実験器 1,Rb# の記号で表示),水素 メーザ 同期出力(1 MHz,H# で表示),Cs 原子発振器(外国産 1,Cs# で表示)について, $\tau_0 \simeq 10^{-3} \sim 10$  sec にわたり測定し,得られた データを電算機で最小二乗法処理をして R.M.S. 値を求めた。そして,(ω)、(ω)式を 用いて 周波数安定度を計算した。結果を第  $6 \sim$  第 8 図に示す。

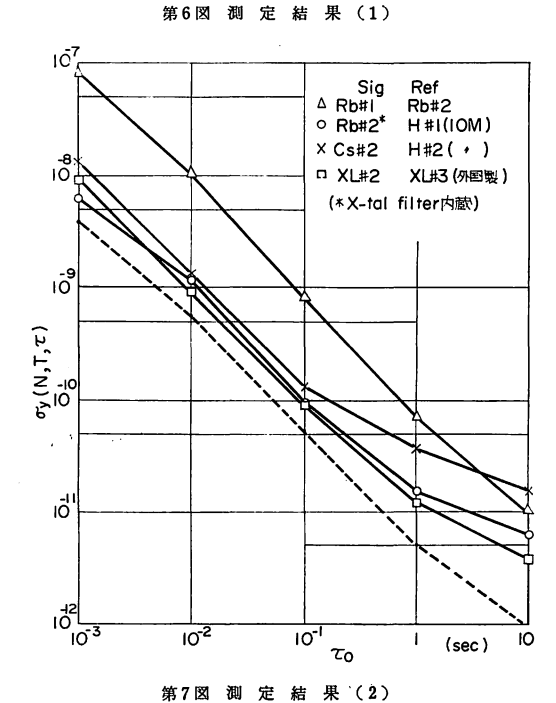
# 5.1. 単独発振器の安定度の計算

得られたデータは二つの発振器間の比較値であるから, これから各々の発振器の安定度を分離するには次のよう にすればよい。

$$\begin{cases} \sigma_{12}^{2} = \sigma_{s}^{2} - \sigma_{1}^{2} - \sigma_{2}^{2} \\ \sigma_{23}^{2} = \sigma_{s}^{2} - \sigma_{2}^{2} - \sigma_{3}^{2} \\ \sigma_{31}^{2} = \sigma_{s}^{2} - \sigma_{3}^{2} - \sigma_{1}^{2} \end{cases}$$
(26)

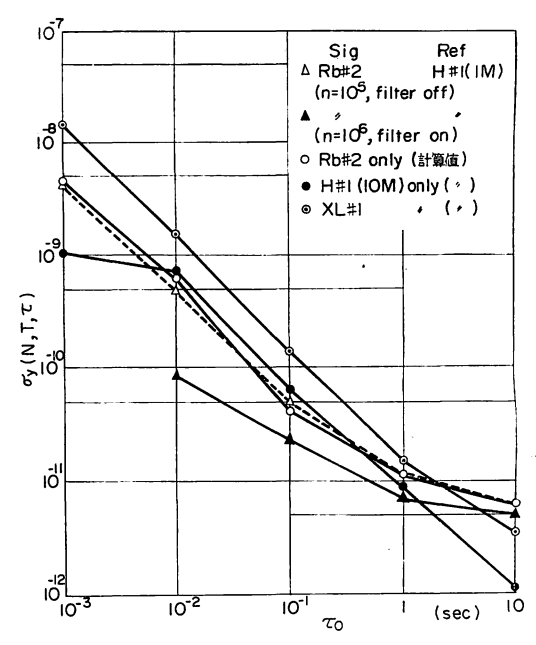
ここで、 $\sigma_{s}^{2}$  は system noise による分散、 $\sigma_{ij}^{2}$  は発振





器 i と j の相互比較による分散、 $\sigma_i^2$  は発振器 i の分散の計算値であり、岡式右辺の各分散値は互いに独立であるとする。岡式から、

$$\begin{cases} \sigma_{1}^{2} = \frac{1}{2} (\sigma_{12}^{2} - \sigma_{31}^{2} - \sigma_{23}^{2} - \sigma_{s}^{2}) \\ \sigma_{2}^{2} = \sigma_{12}^{2} - \sigma_{s}^{2} - \sigma_{1}^{2} \\ \sigma_{3}^{2} = \sigma_{31}^{2} - \sigma_{s}^{2} - \sigma_{1}^{2} \end{cases}$$
 (27)



第8図 測定結果(3)および単独発振器の計算例

これらの発振器の一つを基準にとると他の未知の発振 器の分散が求まる。

$$\sigma_x^2 = \sigma_{xi}^2 - (\sigma_s^2 + \sigma_i^2)$$
 (28)

実際の計算例を第8図に示している。ただし、 $\sigma_s^2$  は  $\mathbf{H}$  #1 (10  $\mathbf{MH}z$ ) を用いて共通入力法で測定し、各データは  $\mathbf{10}$   $\mathbf{MH}z$  周期測定によって得たものである。しかし、この計算例には次のようなふじゅうぶんさがある。

- (1)  $\sigma_{ij}^2$  は 1 回の測定のみによっているため比較的ば らつきが大きい。
  - (2) 二つの信号に対する System の帯域幅が異なる。
- (3) 発振器自身の分散と System noise に よる それ とがあまりちがわない。

# 5.2. 測定結果についての検討

- (1)  $au_0 = 1 \sim 100 ext{ ms}$  では ほぼ  $1/ au_0$  の傾向を示している。
- (2) Rb # 2, H, XL # 3 の場合, 10 MHz 周期測定では精度が若干不足である。しかし, 逓倍によって System noise が増すことも考えると (1,440 MHz のSystem nois の影響を参照), 100 MHz 測定で じゅうぶんであると考える。
- (3) Rb #1 (実験器) は出力回路の周波数合成器によって離散的雑音で PM 変調をうけ、安定度を 著しく 悪くしている。
  - (4) 短期安定度は測定帯域幅により影響される。した

がって、測定系はできるだけ広い帯域にする必要があるが、1,440 MHz 測定と周波数測定は その点帯域幅が 狭ますぎる。

- (5) 周波数測定装置は高次逓倍を要するため雑音が増大し、狭帯域にする必要がある。したがって、安定度の測定にはあまり適していず、絶対値測定に向いている(周波数を直読できる)。
- (6) 各測定値を 1 回の測定のみによって得たのは若干 ふじゅうぶんであったといえる。また、1、10 sec では r ( $=T/\tau$ ) をなんらかの方法で定めて おくほうが良かった。
- (7) 今回の測定では、比較的良い 発振器は  $\tau_0=1$  ms で  $5\times10^{-9}$  前後、1 sec で  $1\times10^{-11}$  前後であった。

#### 6. 結 言

周波数安定度の基礎理論,離散的雑音についての検討 および比較的最近の発振器の短期安定度の測定結果について述べた。現在,わが国においては周波数標準器の短 期安定度測定にはさまざまな方法が用いられており,そ の測定値についても装置などに関する必要な評価なしに 単に値のみを表示している場合が多いようである。すで にみたように,測定値を表示するに当っては測定方式, 測定帯域幅,データ個数とその処理法,装置の雑音の影 響などについて明記するのが望ましい。当研究所におい ても短期周波数安定度(測定装置,データ処理)の確立 を図っている。各分野から出される周波数安定度のデー タを直接比較,評価できるような統一された方式が確立 されることが望ましい。

謝辞:ご鞭達いただいた佐分利部長,測定器などの便 宣を図って下さったタケダ理研と富士通の方々,実験に 際し協力いただいた周波数標準部の皆さんに深謝しま す。

# 參 考 文 献

- (1) 八鍬, 竹内, 古田;ルビジウム原子発振器(解説), テレビジョン学会誌, 24, 8, 1970.
- (2) McCoubrey A. O., A Survey of Atomic Frequency Standards, Proc. IEEE., 54, 2, p. 134, Feb. 1966.
- (3) Specil Issue on Frequency Stability, Proc. IEEE., 54, 2, Feb. 1966.
- (4) Barnes, J. A. et al., Characterization of Frequency Stability, NBS Technical Note, 394, oct. 1970.
- (5) Cutler, L. S. and Searle, C. L., Some Aspects of the Theory and Measurement of Frequency Fluctuations in Frequency Standards, Proc. IEEE., 54, 2, Feb. 1966.
- (6) 吉村,小林,周波数合成器の離散的雑音による 周波数安定度,電子通信学会誌,54-C,6,June 1971.